

ԳԵՈՄԵԽԱՆԻԿԻ ՊՐԵՍՐԱՐԵՐԻ ԵՐԵՎԱՆ
ПРОБЛЕМЫ ГЕОМЕХАНИКИ, ЕРЕВАН
PROBLEMS OF GEOMECHANICS, YEREVAN

1984, 9 : 69—80

ODGC B2/E2

УДК 624.131.6.

ОСЕДАНИЕ ПОВЕРХНОСТИ, ВЫЗВАННОЕ ПОНИЖЕНИЕМ УРОВНЯ ГРУНТОВЫХ ВОД¹

Проф., докт. техн. наук ЗИГМУНТ ГЛАЗЕР²,
докт. техн. наук РЫШАРД КАЧЫНЬСКИ² и д-р ВУ ЦАО МИН³

Реферат. В статье приводятся результаты расчета полной и зависящей от времени частной осадки поверхности грунта, вызванной понижением уровня грунтовых вод примерно на 100 м. Описывается геологическая структура района и даются детальные инженерно-геологические характеристики.

Осадение земной поверхности может происходить под действием нескольких факторов, включая глубокий дренаж, связанный с открытыми разработками минерального сырья. Открытие богатого месторождения бурого угля в районе Белхатув (центральная Польша) и решение о его эксплуатации вызвало необходимость предпринять подобные крупномасштабные работы по глубокому дренированию. Белхатувское месторождение бурого угля расположено в глубокой широтной сбросовой мульде, проходящей через сильно нарушенную часть Щецин-Подзь-Мехувского синклиниориума. Более древние породы сложены мезозойскими (триассовыми, юрскими и меловыми) отложениями, тогда как палеозой представлен цефштейновыми отложениями соляного купола.

Мезозойские породы перекрыты третичными и четвертичными отложениями, изменяющимися по мощности и горизонтальному распределению. Третичная и в особенности миоценовая свита глинисто-пылевато-песчаных отложений с пластами бурого угля являются наиболее мощными в области мульды. Отложения бурого угля относятся к типу тектонических депрессий, образованных в сбросовой мульде (рис. 1). В соответствии с их генезисом отложения в плане узкие и удлиненные, их ширина составляет от 1,5 до 2 км, а длина около 40 км. Мощность пластов угля в среднем около 60 м, увеличиваясь местами до 250 м. Наряду с мощностью покровной толщи, приближающейся и даже превышающей местами 150 м, это приводит к тому, что открытые разработки угля должны иметь глубину выше 200 м, а на некоторых участках—более 300 м.

В Белхатувском месторождении различаются три водоносных горизонта: четвертичный, третичный и мезозойский. Водоносные горизонты в вертикальном направлении хорошо связаны, между ними имеется также горизонтальный контакт.

На основании изучения и анализа обстановки была установлена система дренирования. Для того чтобы дренировать покровную толщу и уменьшить давление на подошву пласта угля, необходимо было дре-

¹ Перевод с английского проф. Г. И. Тер-Степаняна.

² Геологический факультет Варшавского университета.

³ Старший науч. сотр. Национального центра научных исследований, Ханой.

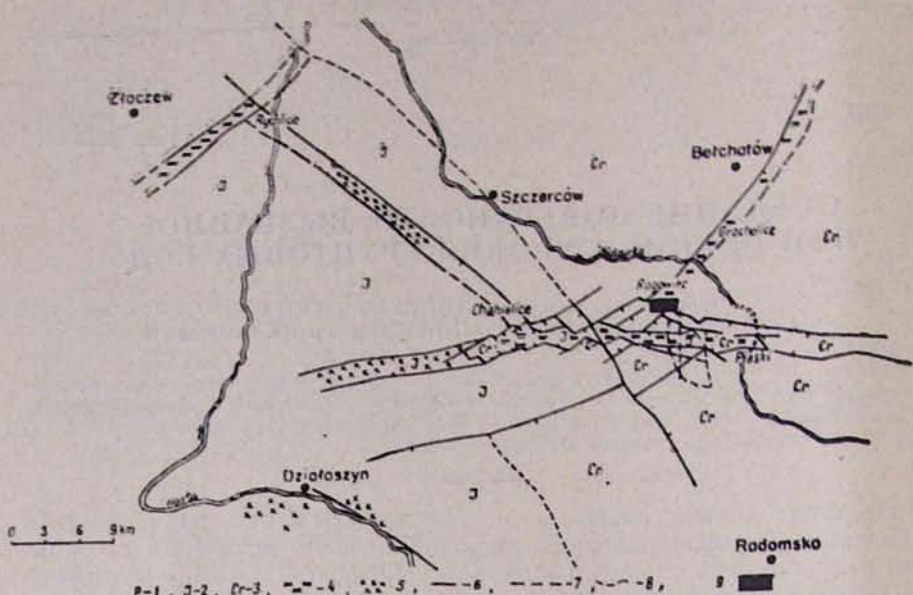


Рис. 1. Геологическая схема района Белхатув (по S. Biernat, 1975). 1—цехштейн; 2—средняя и верхняя юра; 3—средний и верхний мел; 4—бурый уголь; 5—карстовые явления; 6—тектонические линеаменты (установленные); 7—тектонические линеаменты (предполагаемые); 8—геологические границы; 9—местоположения сооружений силовой станции.

նկ. 1. Թիվառության շրջանի երկրաբանական բարելզ (Բայ. S. Biernat, 1975): 1—Ցէխշտեյն, 2—միջին և վերին յուրա, 3—միջին և վերին կավիճ, 4—դորչ ածուխ, 5—կորսատային երկարություններ, 6—տեկտոնիկ լինեամենտներ (հաստատված), 7—լինեամենտներ (ենթադրվող), 8—երկրաբանական ստուգաներ, 9—ուժակայակի կառուցվածքների տեղադրություններ:

Fig. 1. Geological sketch of the Belchatów area (after S. Biernat, 1975). 1—Zechstein, 2—Middle and Upper Jurassic, 3—Middle and Upper Cretaceous; 4—brown coal; 5—karst phenomena; 6—tectonic lineaments (stated); 7—tectonic lineaments (inferred); 8—geological boundaries; 9—area of power plant objects.

нировать отложения на глубину около 300 м ниже земной поверхности. Выбранная схема дренирования состояла из барьера глубоких колодцев, расположенныхных вне открытых разработок и на их бермах.

Согласно гидрогеологическим прогнозам количество откачиваемой воды будет вначале увеличиваться и стабилизируется на уровне около 250 млн. м³ в год примерно через 10 лет. Радиус депрессионной воронки, который будет увеличиваться вместе с расходом воды, согласно гидрогеологическим прогнозам будет несколько превышать 40 км. Это заметно увеличивает значение прогноза влияния понижения уровня грунтовых вод на окружающую среду, включая сюда и оседание поверхности.

Оседание земной поверхности будет заметным на обширной площади. Если в одних районах оно практически не будет иметь никаких последствий, то в других может оказать влияние на условия эксплуатации и угрожать безопасности инженерных сооружений. Поэтому прогноз оседания должен быть сделан с большой точностью. Прогноз величины и времени осадки особенно важен для сооружений электростанции, возводимой вблизи от открытых разработок. Электростанция будет сооружена примерно в 2 км к северу от месторождения. Депрес-

ционная кривая изменит свою форму, и уровень грунтовых вод сработает уже к концу строительства электростанции и началу ее эксплуатации. Площадь, занимаемая проектируемыми сооружениями электростанции, составляет около 1,8 км².

Более древние пласти представлены карбонатно-силикатно-мергелистыми породами мелового возраста. Поверхность меловых пород очень расчленена в результате ларамийских и тортонских тектонических движений, карстовых явлений и интенсивной эрозии и выветривания меловых пород в течение палеогена. Более того, в меловых породах под сооружениями, чувствительными к неравномерной осадке, был прослежен сброс СЗ—ЮВ направления. Разность высот поверхности меловых пород достигает 25 м. Меловые породы покрыты кайнозойскими отложениями, представленными третичными породами различной мощности и ограниченными в фундаменте депрессиями, и толщиной четвертичных отложений, залегающей повсеместно.

Образование депрессионной кривой приведет к дренированию кайнозойских и верхней части меловых отложений; величины и разности осадок земной поверхности будут прямо зависеть от механических свойств грунтов фундамента. Поэтому необходимо сделать предварительный анализ, позволяющий провести отбор, изучение и регистрацию элементов, непосредственно влияющих на работу проектируемых объектов. Падение уровня грунтовых вод на 90 м вызовет устремление взвешивания и таким образом повышение эффективных напряжений в грунтах основания от 0 до 18 кг/см². Осадание меловых пород будет небольшим и практически незначительным по сравнению с оседанием вышележащих грунтов и поэтому они могут рассматриваться как практически несжимаемые. Это делает необходимым определение глубины расположения несжимаемых коренных пород с соответствующей точностью.

Другими важными задачами являются реконструкция хода снижения уровня и анализ изменений траектории напряжений в грунтовом массиве, требующие изучения геологических и гидрогеологических условий. Имеются по крайней мере три слоя связных грунтов в основании объектов электростанции, требующие критического анализа результатов гидрогеологического прогноза, принимая упрощенную модель расчета среды с однородными фильтрационными свойствами. До окончания строительства электростанции величина сработки была оценена в 30 м. Однако эта величина не может быть использована при определении оседания, если принять во внимание существующие гидрогеологические условия. Слои слабопроницаемых связных грунтов будут уменьшать скорость вытекания воды из песчаных отложений по сравнению с той, которая была принята в гидрогеологическом прогнозе. Анализ, учитывающий инфильтрацию атмосферных осадков, показывает, что до окончания строительства электростанции произойдет менее двух третей предсказанной сработки. Таким образом, оседание в результате дренирования основания будет в основном происходить после окончания строительства объекта.

Отсюда следует, что анализ траектории напряжений в грунтах основания должен учитывать увеличение как эффективных напряжений, происходящее в результате снятия взвешивания и веса инфильтрующихся вод, так и сил, возникающих вследствие просачивания подземной воды в подстилающие, предварительно осущенные слои грунта.

Нами определены характеристики 8 инженерно-геологических серий, отличающихся по грунтам основания электростанции.

Значения физико-механических параметров были определены в ходе полевых и лабораторных исследований. Лабораторные исследования, в особенности те, которые были проведены в Институте гидрогеологии и инженерной геологии Варшавского университета, относятся главным образом к характеристикам зависимости между напряжениями, деформациями и временем. Эти зависимости были получены на одометрах при нагружении до 16 кг/см², а также на специальном консолидометре с измерением порового давления, спроектированном Ву Цао Мином (Vu Cao Minh, 1976).

До последнего времени анализ консолидации грунта производился на основании теории одноосной консолидации Терцаги. Основное уравнение Терцаги

$$c_v \frac{\partial^2 u}{\partial z^2} = \frac{\partial u}{\partial t}, \quad (1)$$

где u —поровое давление, z —расстояние от границы консолидирующегося слоя, t —время и c_v —коэффициент консолидации

$$c_v = \frac{k (1 + e)}{\gamma_w a_v}, \quad (2)$$

где k —коэффициент фильтрации, e —коэффициент пористости, γ_w —объемный вес воды, a_v —коэффициент сжимаемости.

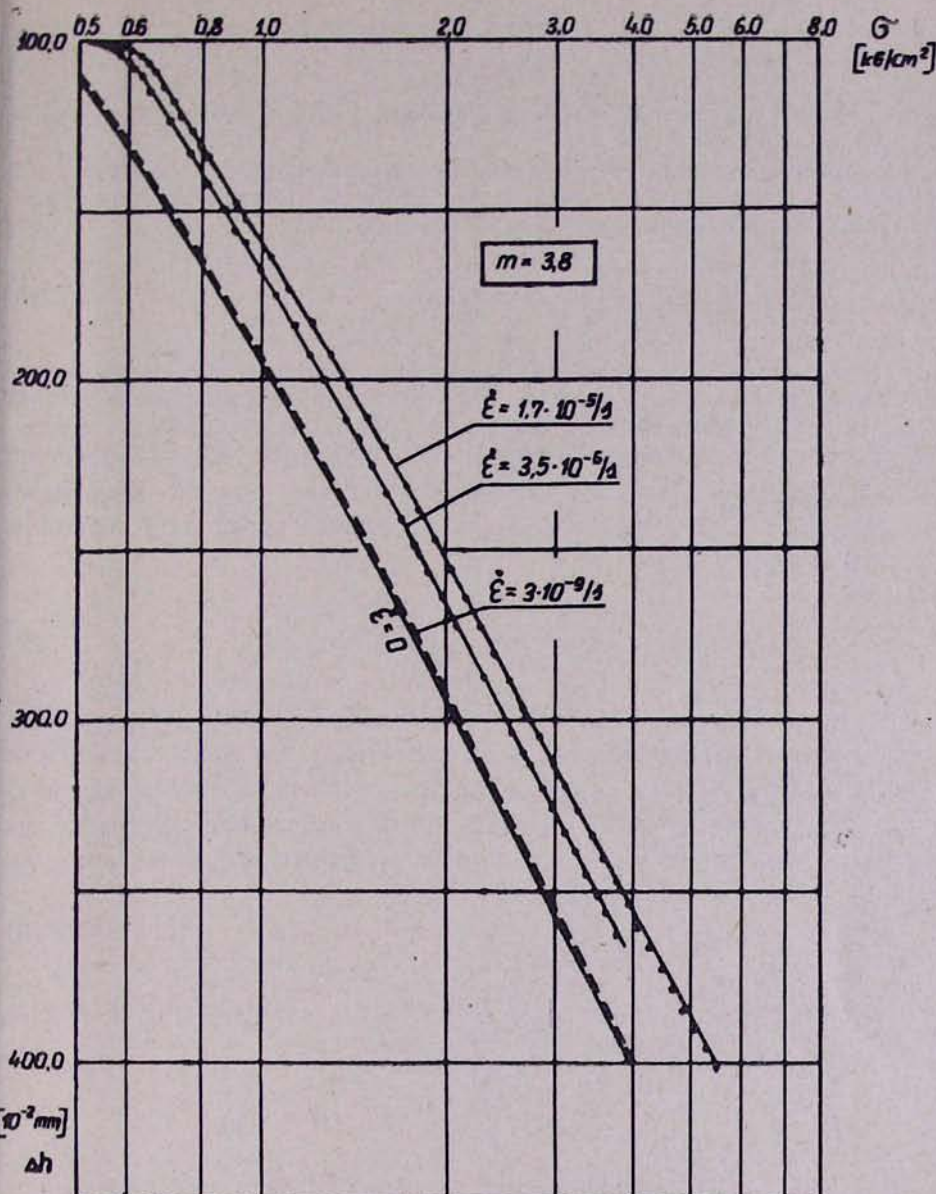
Как и другие теории, теория Терцаги основана на ряде упрощающих допущений. Исследования показали, что теоретическая кривая, полученная в соответствии с уравнением Терцаги, обычно не совпадает с экспериментальной кривой и что степень консолидации и степень рассеяния порового давления в данный момент времени различны. Лабораторные исследования показали, что ход консолидации зависит от нескольких факторов, включая высоту образца, нагрузку, продолжительность предшествующей фазы нагружения и т. д. Вследствие этих расхождений часто различают первичную и вторичную консолидацию. Различие между теоретической и экспериментальной кривыми объясняется в основном ползучестью скелета во времени, которая не учитывается в уравнении Терцаги. Ползучесть начинается одновременно с приложением нагрузки и продолжается до окончания консолидации. Для того чтобы лучше привести в соответствие теорию с результатами эксперимента, предлагается следующим образом видоизменить уравнение (Vu Cao Minh, 1976)

$$c_v \frac{\partial^2 u}{\partial z^2} = - \frac{\partial \varepsilon}{\partial t}; \quad (3)$$

$$\frac{\partial \varepsilon}{\partial t} = \frac{1}{\beta} (e_\infty - e)^m, \quad (4)$$

где ε —вертикальная деформация к данному моменту времени, e_∞ —конечная деформация, m и β —постоянные коэффициенты.

Изучение консолидации показало, что поровое давление увеличивается при нагружении до некоторой величины и в последующем стабилизируется несмотря на дальнейшее увеличение нагрузки. Скорость деформирования вначале увеличивается и стабилизируется, когда поровое давление становится постоянным. Отсюда следует, что можно

Рис. 2. Зависимость Δh от σ' .

Ար. 2. Δh -ի կախումը σ' -ից:
Fig. 2. Dependence of Δh on σ' .

различать нестабилизированную и стабилизированную фазы консолидации.

В нестабилизированной фазе поровое давление и скорость деформации увеличиваются до некоторой величины. В стабилизированной фазе поровое давление и скорость деформации делаются постоянными, а эффективные напряжения возрастают с постоянной скоростью. Это позволяет записать следующее уравнение скорости деформации:

$$\frac{\partial \varepsilon}{\partial t} = \frac{1}{\beta} \left(\frac{\sigma'}{E_{\text{од}}^{\text{од}}} - \varepsilon \right)^m, \quad (5)$$

где σ' —эффективные напряжения в образце, подвергнутом нагрузке p , $E_{\text{од}}^{\text{од}}$ —одометрический модуль.

Соотношения между эффективными напряжениями, величиной нагрузки и максимальным значением порового давления в фазе стабилизованной консолидации могут быть записаны так:

$$\sigma' = p - \frac{2}{3} \varepsilon. \quad (6)$$

Проведенные исследования позволили разработать новый метод испытания сжимаемости грунта. Этот метод предусматривает приложение к грунту вертикальной нагрузки с постоянной скоростью и в последующем поддержание постоянной скорости деформирования, $\varepsilon = \text{const}$. Опыты при $\varepsilon = \text{const}$ позволяют получить график зависимости между σ' и ε , откуда, пользуясь следующим уравнением, находим параметры m и β :

$$\lg (\varepsilon_{i+1} - \varepsilon_i) = \frac{1}{m} \lg \varepsilon_i + \lg \beta^{\frac{1}{m}} (1 - N^{\frac{1}{m}}), \quad (7)$$

где N —произвольное действительное число $N > 0$, а ε_i и ε_{i+1} —величины деформации, полученные при постоянном значении σ' ; скорости ε_i и ε_{i+1} выбраны таким образом, чтобы $\varepsilon_{i+1} = N\varepsilon_i$. Затем вычисляется зависимость между σ' и ε_∞ для случая постоянной скорости деформирования. Величина ε_∞ для этой цели определяется по формуле

$$\varepsilon_\infty = \varepsilon + \beta^{\frac{1}{m}} \varepsilon^{\frac{1}{m}}. \quad (8)$$

Одометрический модуль для выбранного интервала напряжений считывается с графика зависимости между σ' и ε_∞ .

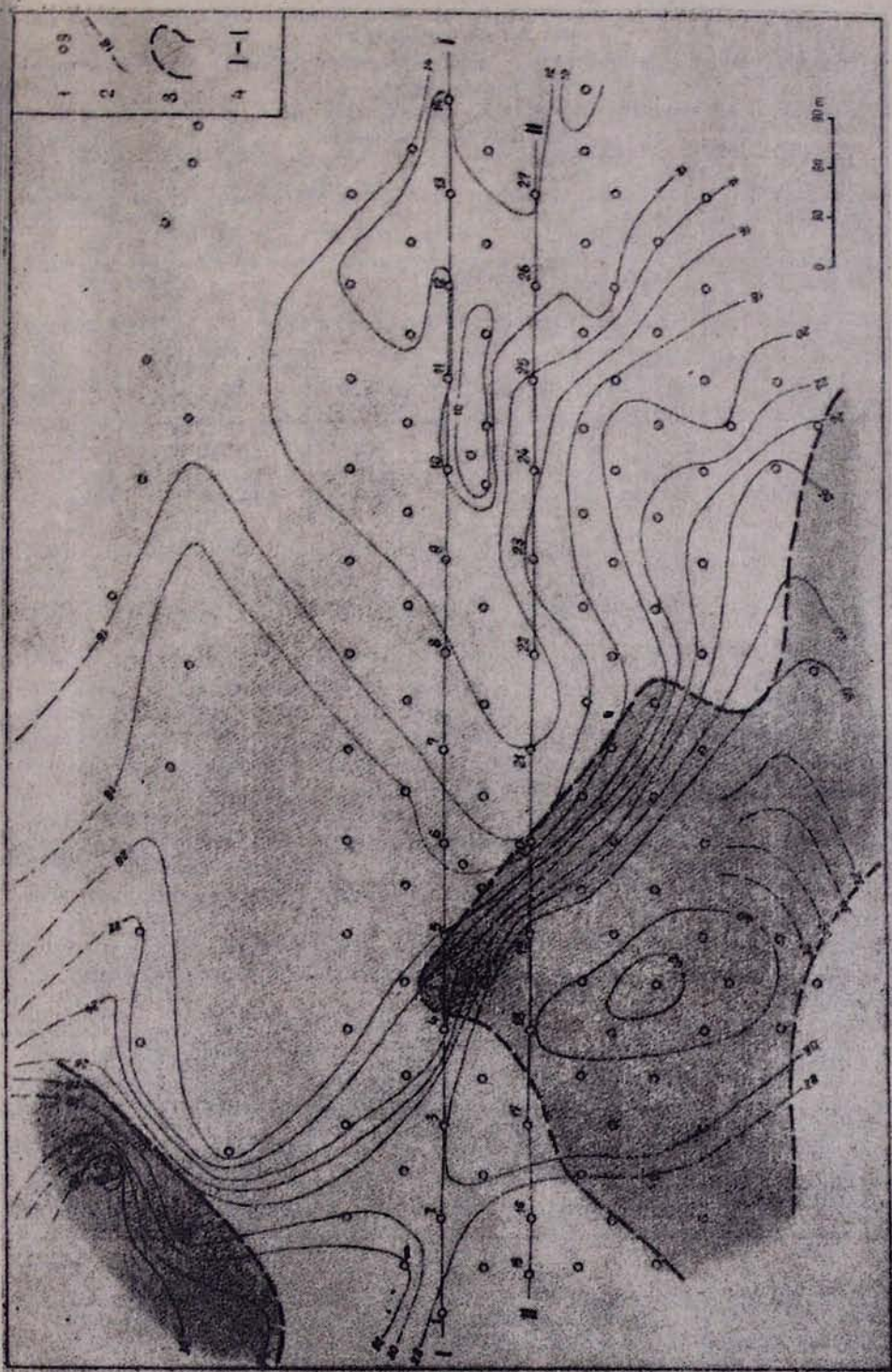
$$E_{\text{од}} = \frac{\Delta \sigma'}{\Delta \varepsilon_\infty}. \quad (9)$$

Для определения значений $E_{\text{од}}$, c_v , β и m необходимо провести 3 опыта при различных скоростях деформирования, тогда как для определения M_0 —только один опыт при малой постоянной скорости деформирования $\dot{\varepsilon} = \text{const}$, порядка 10^{-6} 1/с. Во время опыта регистрируется зависимость между значениями эффективных напряжений σ' по

Рис. 3. Изолинии наибольшего оседания. 1—наблюдательная точка и ее номер; 2—изолиния оседания 16 см; 3—месторождение бурого угля; 4—линия разреза.

Черт. 3. Անապահության ամենամեծ անապահության տարածքը: 1—դիման կետ և նրա համարը, 2—համանամատ հանդիպության 16 սմ, 3—գորշ ածիքի հանրավայրը, 4—կորպածքի զիծ:

Fig. 3. Maximum subsidence isolines. 1—observation point and its number; 2—subsidence Isoline 16 cm; 3—area of occurrence of brown coal; 4—line of cross-section.



Одометрический модуль сжимаемости M_o пасты пылеватой глины, измеренной различными методами, кг/см²
 Зарубежные авторы изучали физическую зависимость M_o от скорости деформации, кг/сек²

Oedometric compressibility modulus M_o of silty clay paste measured by various techniques, in kg/cm²

Интервал напряжений, кг/см ²	Изучено методом постоянной скорости деформации				По одометрическим опытам Oedometer test
	$\dot{\epsilon} = 1,7 \cdot 10^{-5}$ sec ⁻¹	$\dot{\epsilon} = 8,5 \cdot 10^{-6}$ sec ⁻¹	$\dot{\epsilon} = 3,5 \cdot 10^{-6}$ sec ⁻¹	$\dot{\epsilon} = 0$	
1,0—1,5	12,5	12,1	11,9	11,3	11,3
1,5—2,0	19,6	19,1	19,0	18,2	18,2
2,0—4,0	34,0	33,2	32,8	29,0	29,2

(6) и деформацией ϵ . После того как установлена зависимость между σ' и ϵ при $\dot{\epsilon} = \text{const}$, возможно вычислить с достаточной точностью значение E_{oed} для данной скорости, используя уравнение (9). Зависимость между Δh и σ' показана на рис. 2.

Таблица показывает результаты изучения грунтовых паст, приготовленных из пылеватых глин; значения E_{oed} вычислены из единственных кривых. Полученные значения сравнены со значениями, определенными классическим методом. Разработка нового метода определения сжимаемости позволяет получать параметры сжимаемости грунтов в единичном испытании, длившемся менее нескольких часов.

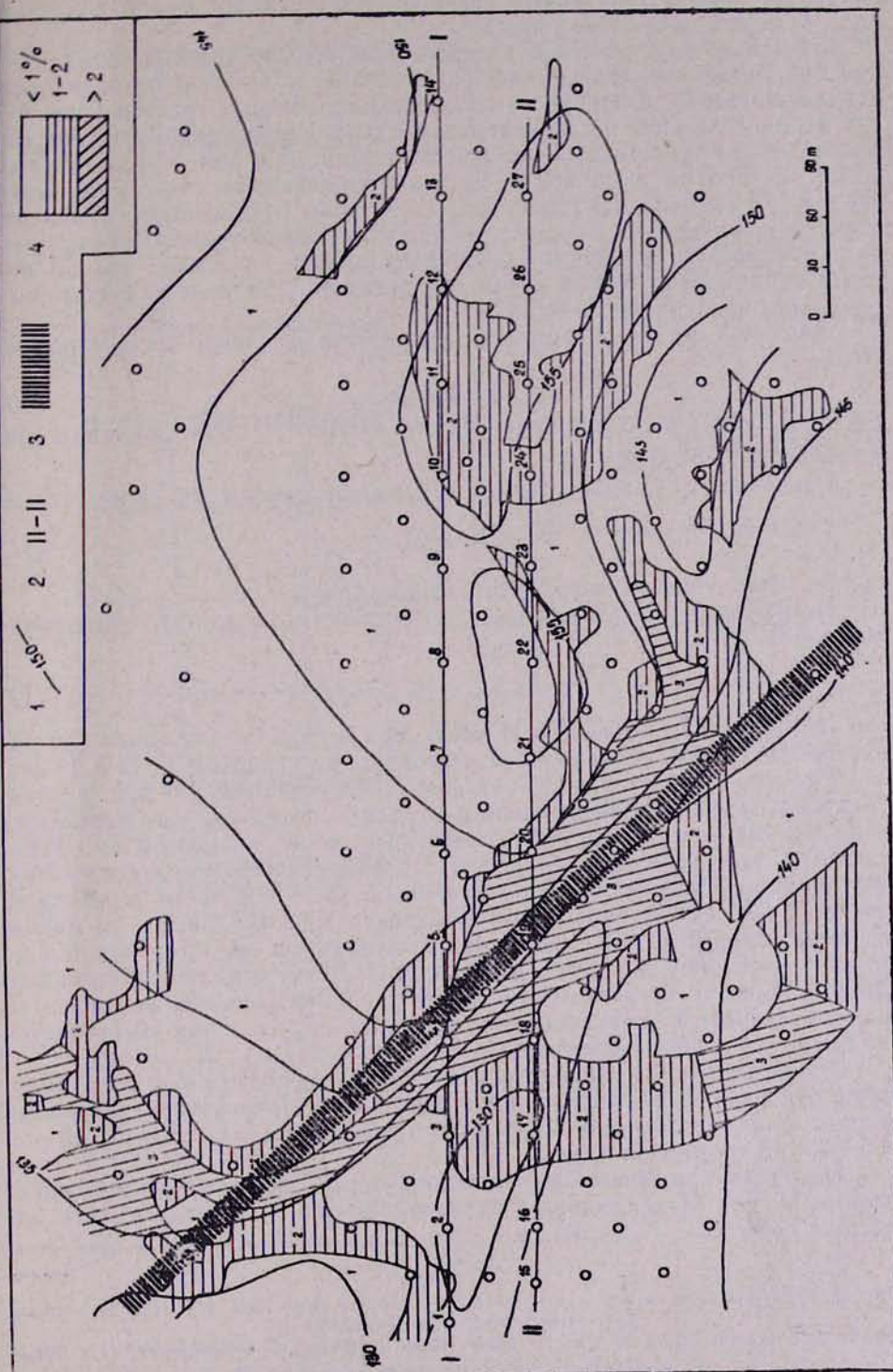
Нами определены параметры, вычисленные по результатам полевых и лабораторных испытаний для отдельных грунтовых серий. Значения оседания поверхности вследствие дренажа были вычислены для всех разбуренных профилей. Вычисления проведены по двум схемам:

1) при полном дренировании покровных грунтов (минимальное значение оседания); вычисления произведены методом траектории нагрузки.

2) при дренировании несвязанных грунтов, залегающих над меловыми коренными породами, и водонасыщении слоев грунта, залегающих над подошвой наносов — весьма неблагоприятный случай. Вычисления произведены в терминах эффективных напряжений, учитывая поровое давление (максимальное значение оседания).

Для случая бурь углей вычисления были произведены для двух различных значений одометрического модуля вследствие существенного нарушения структуры образцов и высокой вариабельности

Рис. 4. Схематическая карта наклонения поверхности земли. 1—изолинии кровли меловых пород; 2—линия разреза; 3—зона сброса; 4—наклонение в промилях (%).
 Черт. 4. Тектоническая карта наклонения кровли меловых пород: 1 — изолинии кровли меловых пород; 2 — линия разреза; 3 — зона сброса; 4 — наклонение в промилях (%);
 Fig. 4. Sketch map of inclination of terrain surface. 1—Isolines of the top of Cretaceous bedrock; 2—line of cross-section; 3—fault zone; 4—Inclination in %.



вскрытых углей. Полученные значения представляют собой конечные величины оседания слоев грунта.

Учитывая геологические и гидрогеологические условия, была принята наиболее неблагоприятная по величине и времени стабилизации оседания модель. Движение вытекающей из связных грунтов воды будет направлено вниз и таким образом длина фильтрационного пути для серий 2 и 3 будет равна половине их толщины, а для всех остальных серий—их полной толщине. Вычисления произведены для случая мгновенного увеличения нагрузки. Для того чтобы приспособить принятую схему к реальной ситуации, т. е. к постепенному увеличению нагрузки в результате медленного понижения уровня грунтовых вод до поверхности меловых пород в течение времени t_0 , за начало схемы расчета было принято время $0,5 t_0$.

Величина оседания слоя связных грунтов за данное время t равняется

$$S_{it} = U_i S_i, \quad (10)$$

где U_i —степень консолидации, $U = f(T) = f(c_v t / H^2)$, H —толщина слоя, S_i —конечное оседание слоя.

Оседание всех слоев связных грунтов за время t является суммой

$$S_t = \sum_{i=1}^{n-1} U_i S_i, \quad (11)$$

где n —число слоев связных грунтов на профиле.

Оседание земной поверхности во времени в результате дренирования равняется

$$S = S_o + S_t, \quad (12)$$

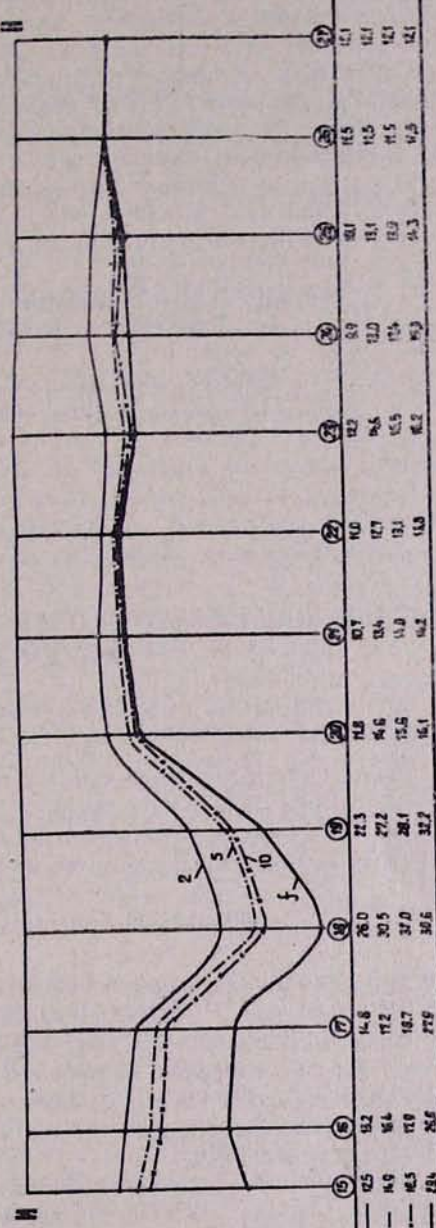
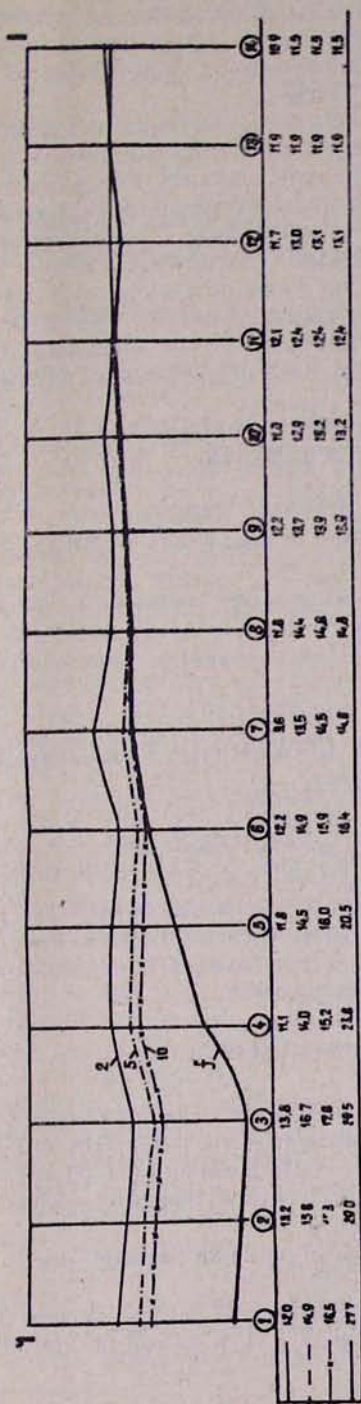
где S_o —оседание несвязных грунтов. В качестве оптимальных для характеристики хода оседания были выбраны интервалы 2, 5, 10 и 20 лет.

Расчеты позволили построить изолинии максимального оседания объектов, чувствительных к неравномерному оседанию, проведенные через каждые 2 см. Замечается общее увеличение величины оседания с востока к западу. Резкая граница области оседания, наблюдаемая в ЮВ части территории, представляет склон удлиненной области максимального оседания, ориентированный с СЗ на ЮВ. Восточный склон области значительно более крутой, чем западный, что свидетельствует о наличии тектоники. Общий характер оседания земной поверхности такой же, как областей максимального и минимального оседания, и различие заключается только в амплитуде оседания.

Максимальные величины оседания прежде всего связаны с наличием бороугольных отложений на профиле. Величины, полученные на схемах максимального и минимального оседания, составляют 10—50 и 5—35 см, соответственно.

На рис. 4 приведена карта наклона поверхности территории, определенного для максимальных значений оседания. Максимальные на-

Рис. 5. Оседание в см через 2, 5 и 10 лет и конечное значение (f) . Цифры в круглых скобках—номера наблюдательных точек.
 Fig. 5. Subsidence in cm after 2, 5 and 10 years and final value (f) . Figures in parentheses are numbers of observation points.



клоны, превышающие 2%, в результате дренирования произойдут в ЮЗ части территории, а оптимальные условия будут иметь место в центральной и восточной частях, где общий наклон будет равен 0—1% и только местами будет превышать 1,0—1,5%.

На рис. 5 даются разрезы, показывающие значения оседания через 2, 5 и 10 лет и конечные значения и иллюстрирующие ход оседания со временем. Эти данные показывают, что оседание поверхности будет различаться во времени. Максимальное отставание оседания будет иметь место на участках, где оседание наибольшее. Результаты показывают общее уменьшение скорости оседания по направлению к западу. В экстремальных случаях оседание на некоторых участках на востоке через 2 года составит около 90% общей величины, тогда как на некоторых участках западной части территории оно не превзойдет 50% ее общей величины и приближается к 70% не ранее чем через 20 лет.

ԳԵՏՆԱԶՐԵՐԻ ՄԱԿԱՐԴԱԿԻ ԻՉԵՑՄԱՆ ՀԵՏԵՎԱՆՔՈՎ ԱՌԱՋԱՅԱՆ ԳԵՏՆԵ ՀԱՄԱՆՍՈՒՄ

Գրոքեառ, տեխն. գլուխար ԶԵԳՄՈՒՆՏ ԳԱԶԵՐ,
տեխն. գլուխար ԹԻՉՈՒՐԻ ԿԱԶԻՆՈՒԿԻ և դոկտոր ՎՈՒ ՑԱՕ-ՄԻՆ

Անվեատ—Հողվածում նկարագրում են զետնի մակերեսութիւնը ընդհանուր և ժամանակից կախված մասնավոր նստումը, որն առաջանում է մոտ 100 մ-ով զետնացըրերի մակարդակի իշեցման հետեւանբարքի նկարագրում է շրջանի երկրաբանական կառուցվածքը, արվում են ինժեներական մանրագնին բնութագրերը:

SURFACE SUBSIDENCE CAUSED BY LOWERING THE GROUND WATER LEVEL

ZYGMUNT GLASZER, Prof., Dr. Hab. (Eng.)¹, and
RYSZARD KACZYNSKI, Dr. Hab. (Eng.)² and VU CAO-MINH, Dr.³

Synopsis. The paper deals with the results of calculations of total and partial time-settlement of ground surface caused from about 100 m drawdown of ground-water table. The geological structure of the area is discussed and the detailed engineering-geological characteristics is given on its background.

ԳՐԱԿԱՆՈՒԹՅՈՒՆ—ԼԻՏԵՐԱՏՈՒՐԱ—REFERENCES

- Biernat S. 1975. The neotectonics of Belchatów area.—Proc. „Recent and neotectonic crustal movements on Poland”, Wyd. Geol. Warszawa, v. 1, p. 111—119 (in Polish).
- Glazer et al. 1975. The influence of groundwater level lowering for total and difference ground settlement of power station Belchatów—Rogowiec.—Arch. Zakł. Prac Geologicznych U. W. Warszawa.
- Vu Cao-Minh. 1976. One-dimensional consolidation of soils with creeping.—Univ. Diss., Warszawa (in Polish).
- Vu Cao-Minh. 1977. New method of oedometrical testing of general compressibility modulus.—Inżynieria i Budownictwo, Warszawa, v. 1, p. 25—28 (in Polish).

¹ Գարշամայի համալսարանի երկրաբանական ֆակուլտետ

² Գիտական հետազոտությունների ազգային կենտրոն, Հանոյ

³ Geological faculty, Warsaw University.

⁴ Senior Researcher, Institute of Earth's Sciences, Hanoi,